

رخداد دگرگونی دما بالا در شرق و شمال شرق مجموعه آذرین و دگرگونی بروجرد

شهریار محمودی^{*}، علی اکبر بهاری فرآ، نسترن پاپی^۲

۱- استادیار، گروه ژئوشیمی، دانشکده علوم زمین، دانشگاه خوارزمی

۲- استادیار، گروه زمین‌شناسی، دانشکده علوم، دانشگاه پیام نور

۳- دانشجوی کارشناسی ارشد، گروه ژئوشیمی، دانشکده علوم زمین، دانشگاه خوارزمی

پذیرش مقاله: ۱۳۹۶/۷/۲۸

تأیید نهایی مقاله: ۱۳۹۷/۳/۱۵

چکیده

مجموعه گرانیتوئیدی بروجرد به سن ژوراسیک میانی ($Ma \pm ۲۰ \pm ۱۶۷$) بخشی از زون دگرگونی سنندج-سیرجان است. این مجموعه گرانیتوئیدی در شیسته‌های دگرگون شده قدیمی تر نفوذ کرده و عامل ایجاد هاله مجاورتی دگرگونی در حد رخساره هورنبلند-هورنفلس تا پیروکسن-هورنفلس در واحد میزبان شیستی شده است. در بخش‌هایی از هاله مجاورتی دما بالا پدیده میگماتیتی شدن مشاهده می‌شود که شاهدی بر افزایش گرادیان زمین گرمائی در منطقه است که با ایجاد هاله دگرگونی مجاورتی در طی پلوتونیسم گرانیتوئیدی نفوذی ایجاد شده است. کانی‌های اصلی در بخش لوکوس میگماتیت‌ها، شامل کوارتز و فلدسپار به همراه مقدار اندکی میکای سفید است. در بخش‌هایی از میگماتیت‌ها پاراژنر ارتوپیروکسن+سیلیمانیت+گارنت+کردیریت+کرونندم مشاهده می‌گردد که بیانگر فشار و دمای بالاتر از رخساره پیروکسن-هورنفلس و معادل با مرز پائینی رخساره گرانولیت است. در طی مطالعات ترمومتری براساس تبادلات کاتیونی زوج کانی، گارنت-بیوتیت، دمای تشکیل حدود ۶۳۵-۷۲۰ درجه سانتی‌گراد به دست آمد. در بخش‌های دما فشار بالای هاله دگرگونی، مطالعات دما-فشار‌سنجی انجام شده براساس فشار دما سنج GASP بیشترین تطابق را با فشار به دست آمده از منحنی‌های تعادلی چندگانه محاسبه شده در این سنگ‌ها دارد بیش از ۷۲۰ درجه و حداقل تا ۴ کیلوبار فشار تخمین زده می‌شود. این دما و فشار بالاتر از دگرگونی‌های مجاورتی معمولی است و به نظر می‌رسد باعث تبلور کانی‌های دمای بالا و شار متوسط نظیر کرندوم شده است.

واژه‌های کلیدی: هورنفلس، دگرگونی مجاورتی، دما-فشار‌سنجی، میگماتیت، رخساره گرانولیت، کرندوم.

مقدمه

وجود پاراژنژهای دما بالا و ایجاد شرایط رخساره گرانولیت و میگماتیتزایی در اوج دگرگونی در منطقه مورد مطالعه است.

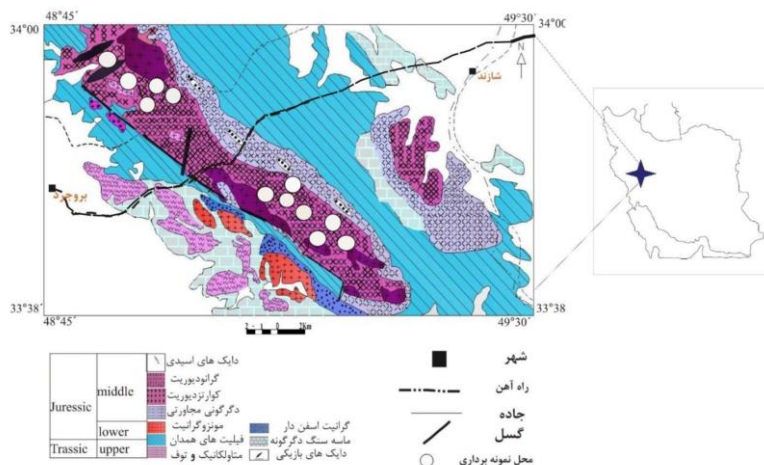
محدوده مورد مطالعه زمین‌شناسی منطقه

منطقه مورد مطالعه از نظر جغرافیایی در غرب ایران در استان لرستان و در محدوده‌ای از شمال شرق تا جنوب شرق بروجرد قرار دارد. این منطقه بین $۳۸^{\circ} ۳۲^{\prime}$ تا $۴۹^{\circ} ۳۰^{\prime}$ عرض شمالی و $۴۵^{\circ} ۴۸^{\prime}$ طول شرقی قرار دارد. از دیدگاه ساختاری این محدوده به عنوان بخشی از دگرگونی‌های مزو佐ئیک در زون ساختاری سندنج-سیرجان به شمار می‌رود (اشتوکلین، ۱۹۶۸) (شکل ۱). جایگزینی توده گرانیتوئیدی بروجرد در ژوراسیک میانی ($۲۰ \text{ Ma} \pm ۱۶۷$) رخ داده است (احمدی خلجی، ۱۳۸۵). مجموعه گرانیتوئیدی در داخل سنگ‌های دگرگونی ناحیه‌ای قدیمی‌تر منطقه نفوذ کرده است، بالاترین بخش سنگ‌های رخنمون یافته در منطقه مورد مطالعه، ردیف دگرگونه سنگ‌های سری پلیتی موسوم به فیلیت‌های همدان به سن تربیاس تشکیل می‌دهند. در بخش تحتانی که در جنوب شرق بروجرد رخنمون دارد متاولکانیک‌هایی با درون لایه‌های مرمر نازک تا ضخیم لایه هستند (بهاری فر، ۱۳۸۲). براساس مطالعات ژئوشیمیایی، توده گرانیتوئیدی بروجرد متعلق به سری کالک آلکالن غنی از پتاسیم بوده و در گروه پرآلومین تا متاآلومین قرار دارد (احمدی خلجی، ۱۳۸۵). مطالعات انجام شده در این تحقیق نشان می‌دهد، تغییرات عناصر نادر خاکی، حاکی از نقش اساسی پوسته، در تغییر و تحولات ماقمای سازنده سری توده نفوذی منطقه است. تغییرات عناصر کمیاب نیز در محدوده محیط‌های فرورانش قرار دارد. به‌طور کلی توده گرانیتوئیدی بروجرد در منطقه قوس

زون سندنج-سیرجان دارای تنوع و تاریخچه طولانی بهویژه از دیدگاه فرآیندهای دگرگونی است. این فرآیندها عامل تشکیل پهنه ساختاری سندنج-سیرجان است. به‌طور کلی از دیدگاه ساختاری سندنج-سیرجان یک زون ترافشاری راستگرد است که از ژوراسیک تا اواخر ائوسن تحت‌تأثیر فازهای دگرشکلی و دگرگونی قرار گرفته است (محجول و همکاران، ۲۰۰۳). در دوران پالئوزوئیک رسوبات تخریبی و سنگ‌های آتشفشاری به صورت متناوب در این زون انباسته شده که در مزو佐ئیک تحت‌تأثیر دگرگونی ناحیه‌ای و سپس تحت‌تأثیر گرانیتوئیدی قرار داشته است. چین خوردگی شدید همراه و تغییر شکل همراه با دگرگونی در تربیاس میانی نیز وجود دارد (بربریان و همکاران، ۱۹۸۱). وجود دگرگونی و ماقماتیسم کالک آلکالن در طول زون سندنج-سیرجان در دوران مزو佐ئیک نشانگر توسعه کمان ماقمایی در طی فرورانش از زمان تربیاس به شمار می‌آید. مطالعات اولیه براساس تعادلات چند گانه (مسعودی، ۱۹۹۷)، اوج دمای دگرگونی در هاله دگرگونی مجاورتی بروجرد را در درجه سانتی‌گراد برآورد کرده است. از دیدگاه (احمدی خلجی، ۱۳۷۸) در بخش شمالی توده بروجرد در زون سیلیمانیت، میگماتیت و هورنفلس‌ها و فلدسپار پتاسیم دیده می‌شود که با توجه به پاراژنژ کانی‌ها می‌توان طیف دمایی حدود ۶۴۲ درجه سانتی‌گراد برآورد کرده است. از دیدگاه (احمدی خلجی، ۱۳۸۵) در بخش شمالي توده کیلوبار برای دگرگونی مجاورتی در این بخش توسط محققین قبلی در نظر گرفته می‌شود. در این پژوهش با توجه به معیارهای پتروگرافی و شیمی کانی‌ها محاسبات ترموبارومتری حداکثر دما و فشار بالاتری در اوج دگرگونی محاسبه گردید است. این محاسبات به همراه مشاهدات صحرایی جدید بیانگر

شیست سبز دیده می‌شود که طی نفوذ توده گرانیتوئیدی در امتداد سطح شیستوزیته آنها یک مجموعه دگرگونی مجاورتی دمای بالا-فشار متوسط حاصل شده است. در بخش جنوبی توده، دگرگونی مجاورتی کمتر مشاهده می‌شود. نوار باریکی از شیست‌های کردیریت‌دار یا کردیریت هورنفلس که به اسلیت و فیلیت ختم شده وجود دارد ولی در بخش‌های شمالی توده بیشتر میگماتیت‌های تزریقی و هورنفلس‌ها دیده می‌شود (احمدی خلجمی، ۱۳۸۵؛ مسعودی و همکاران، ۱۴۰۲) (شکل ۱).

آتشفشنانی حاشیه قاره‌ای تشکیل شده که متعلق به سری گرانیت‌های تیپ I است (خلجی و همکاران، ۱۴۰۷). دگرگونی مشاهده شده در منطقه شامل فاز عمومی ناحیه‌ای درجه پایین و فازهای دگرگونی دیناموترمال و مجاورتی دمای بالا با فشار متوسط است که فازهای قدیمی‌تر را تحت تأثیر قرار داده‌اند. سنگ‌های حاصل از دگرگونی ناحیه‌ای شامل اسلیت و فیلیت با تنوع بافتی و کانی‌شناسی ناچیز است. دگرگونی مجاورتی با سری شیست‌های لکه‌دار در زون‌های درجه پایین شروع شده و به سری‌های دگرگونی هورنفلس‌ها و میگماتیت‌ها ختم می‌گردد. دگرگونی ناحیه‌ای با شرایط رخساره



شکل ۱: نقشه زمین‌شناسی منطقه مورد مطالعه (سهیلی و همکاران، ۱۳۷۱ با تغییرات).

نتایج

جهت انجام مطالعات در این تحقیق تعداد ۵۰ عدد نمونه سنگ برداشت شد که پس از تهیه مقاطع میکروسکوپی ۱۰ عدد از آنها جهت تجزیه شیمیایی و سه مقطع میکروسکوپی جهت مطالعات EPMA انتخاب گردید. که همگی آنها در مرکز تحقیقات فرآوری مواد معدنی ایران مورد آزمایش قرار گرفته است. نمونه‌ها با دستگاه میکروپریوب (EPMA) مدل SX100-Cameca ساخت کشور فرانسه با ولتاژ شتاب دهنده ۱۵ kV و جریان ریزکاو ۱۵ nA مورد

مواد و روش‌ها

پس از انجام بررسی شواهد صحرایی، از رخنمون‌های مناسب نمونه‌برداری شده تعدادی از نمونه‌ها جهت مطالعات دقیق سنگنگاری انتخاب شد و پس با تهیه ۳۰ عدد مقاطع نازک در آزمایشگاه دانشگاه خوارزمی مطالعه گردید. تعدادی از نمونه‌های تجزیه سنگ کل به روش XRF انجام شد. سپس به منظور انجام تجزیه شیمیائی نقطه‌ای ۳ عدد نمونه جهت بررسی میکروسکوپ الکترونی و تجزیه نقطه‌ای دقیق انتخاب شد.

می‌شود ظهور پاراژنر ارتوپیروکسن+گارنت+ سیلیمانیت بیانگر دما و فشار بالاتر از مرز شرایط دگرگونی مجاورتی است و می‌توان گفت که پایداری کوارتز تحت این شرایط ترمودینامیکی میان شرایط گذر از رخساره سانیدنیت در فشار پایین دمای بالا به رخساره گرانولیت در فشار متوسط و دمای بالا است (بوخر و گراپس، ۲۰۱۱) (شکل ۲D).

فیبرولیت-آنداالوزیت هورنفلس: این سنگ‌ها در قسمت شرقی منطقه مورد مطالعه به صورت تودهای کوچک و مجزا نسبت به یکدیگر در حوالی روستای آبخشان بروند دارند. پاراژنر اصلی سنگ شامل

آنداالوزیت+فیبرولیت+اسپینل+کوارتز+فلدسپار پتاسیم به صورت (میکروکلین، پرتویت، پلاژیوکلاز) و کانی‌های فرعی میکا (بیوتیت و مسکویت)، کانی‌های اپک، زیرکن است. پورفیروبلاست آنداالوزیت در اندازه ۲۰-۲ میلی‌متر دیده می‌شود. این بلورها اغلب کیاستولیتی بوده و از اطراف و بخش‌های از درون بلور طی واکنش پلی مورفیک در حال تبدیل به سیلیمانیت هستند. بافت این سنگ‌ها پورفیروبلاستیک تا گرانوبلاست است (شکل ۲E).

سیلیمانیت-آنداالوزیت هورنفلس: این سنگ‌ها در حاشیه شمالی در غرب روستای قپانوردی بروند دارد و ارتفاعات این منطقه را تشکیل می‌دهد. در این سنگ، کانی‌های سیلیمانیت، بیوتیت، کوارتز، فلدسپار پتاسیم و کردیریت و آنداالوزیت دیده می‌شود. در مقاطع میکروسکوپی، پورفیروبلاست سیلیمانیت در حالت نیکول‌های موازی برجستگی بالا داشته و در حالت نیکول‌های عمود، بی رفرنژنس زرد کم رنگ دارد. کوارتز به صورت بلورهای بی‌شکل که گاهی تبلور مجدد یافته دیده می‌شود. فلدسپار پتاسیم به صورت درشت بلور نیمه خودشکل مشاهده می‌شود. کردیریت در اطراف

بررسی قرار گرفت. از بین کانی‌های موجود در سنگ‌های منطقه مورد مطالعه، بیوتیت، مسکویت، کردیریت، گارنت، فلدسپار پتاسیم و کروندم بر حسب مطالعات میکروسکوپی تجزیه شیمیائی شده است که نتایج آنها در جدول‌های ۱ تا ۳ ارائه شده است. همچنین با استفاده از دستگاه میکروسکوپ الکترونی تصاویری از این کانی‌ها تهیه گردید.

پتروگرافی

کردیریت هورنفلس: رخمنون‌های سنگی کردیریت-هورنفلس در شرق و شمال شرقی توده گسترش دارند و بیشترین گسترش این رخمنون‌ها در نزدیکی روستای آبخشان است. رنگ سنگ در نمونه‌های دستی و رخمنون‌های صحرائی به دلیل تجمع کانی‌های دیرگذار و همچنین میکای سیاه خاکستری رنگ تا سیاه است. پاراژنر اصلی شامل پورفیروبلاست‌های کردیریت، فیبرولیت، بیوتیت، کوارتز، فلدسپار و کانی فرعی تورمالین است. در مقاطع میکروسکوپی بلورهای کردیریت فاقد ماقله‌های ساعت شنی و پروانه‌ای هستند. بافت اصلی سنگ میکروکریستالوبلاستیک تا پورفیروبلاستیک است (شکل ۲A).

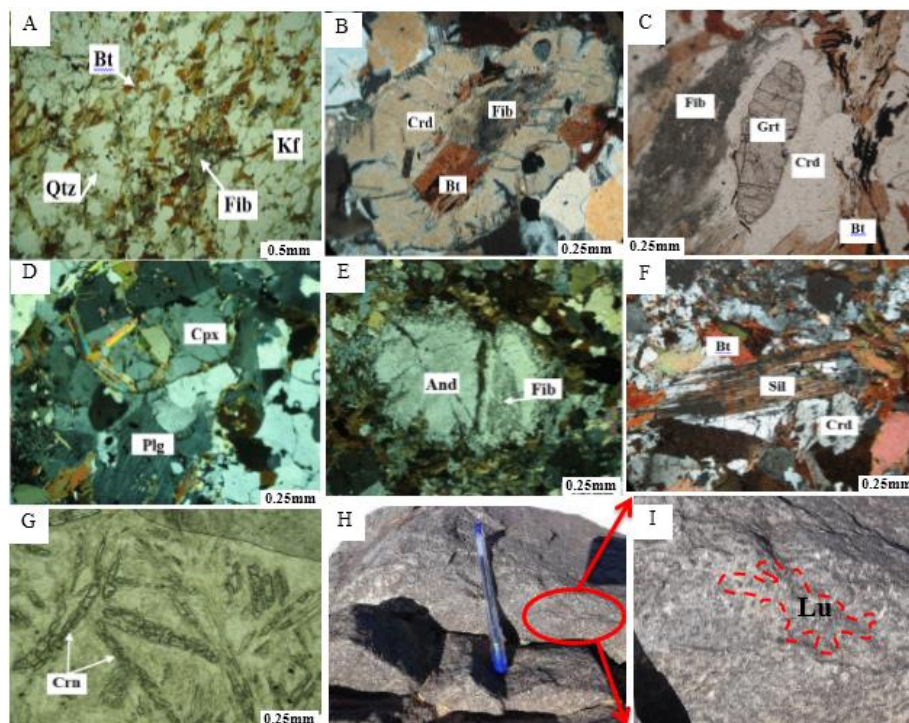
کردیریت، فیبرولیت-هورنفلس گارنت‌دار: این سنگ‌ها در بخش شرقی منطقه مورد مطالعه و در حاشیه فاز گرانودیوریتی توده بروجرد دیده می‌شود. پاراژنر اصلی این سنگ شامل کردیریت، فیبرولیت، گارنت، بیوتیت، مسکویت، فلدسپار پتاسیم، پلاژیوکلاز و کوارتز و ارتوپیروکسن است. کردیریت به صورت بلورهای درشت به صورت شکل دار تا نیمه شکل دار وجود دارد. فیبرولیت و بیوتیت به صورت ادخال در درون کردیریت قرار گرفته‌اند (شکل ۲B). گارنت به صورت درشت بلور و نیمه شکل دار با مجموعه کانی‌هایی شامل کردیریت، فیبرولیت، کوارتز و فلدسپار و بیوتیت وجود دارد (شکل ۲C). بافت پورفیروگرانوبلاستیک در مقاطع مشاهده

میگماتیتی از جمله چین‌های جریانی (پتیگماتیکی)، فابریک سورئیتیک (surectic) و فابریک نبولیتی (Nebulitic) را گزارش کرده است. در ساخت لکه‌ای تکه‌هایی از ملانوسوم به ابعاد حداقل ۱۰-۵ سانتی‌متر در بین لوکوسوم پراکنده است. در ساخت لایه‌ای یا استروماتیک، لوکوسوم متحرک شده و به شکل رگه‌های موازی در سطح شیستوزیته قرار گرفته است. چین‌های جریانی (پتیگماتیکی)، جهت یابی خاصی ندارند و حاصل تنش نیستند بلکه حاکی از به حالت خمیری در آمدن این سنگ‌ها در اثر حرارت زیاد هستند و در اثر وجود ذوب بخشی تشکیل شده‌اند. در این ساخت‌ها بخش‌های روشن به صورت رگه‌های نامنظم در حد چند سانتی‌متر توسعه یافته‌اند که در واقع بخش لوکوسوم این سنگ‌ها هستند و به وضوح ترکیب گرانیتی داشته و از کوارتز (دارای سطوح بلوری)، پلاژیوکلاز (دارای ماکل تکراری)، فلدسپار، بیوتیت، مسکویت و کانی‌های اپاک تشکیل شده‌اند و دارای بافت‌های گرانولار، گرافیک و میرمیکتی هستند. فابریک سورئیتیک (Sureitic) با توجه به وجود لایه‌بندی ترکیبی در منطقه بروجرد و قرار داشتن لایه‌های سخت متاسنداستون در میان متاپلیت‌ها و بودین شدن این لایه‌ها حاصل شده است و بین بودین‌ها را مزوسم پر کرده است. فابریک نبولیتی (Nebulitic) که در آن مرز بین مزوسم و نئوسم محو شده و به صورت مبهم قابل تشخیص هستند.

سیلیمانیت به صورت ریز بلور وجود دارد (شکل ۲ F).

کرندونوم: در حاشیه شمالی توده نفوذی و در همبری بالا فصل آن، سنگ‌هایی رخمنون دارند، که مشابه هورنفلس‌ها بوده ولی در برخی پورفیروبلاست‌ها آثار دگرگونی برگشتی به صورت رشد میکاها و سیرسیتی شدن، مشاهده می‌شود. در این نمونه‌ها کانی کرونندم به صورت بلورهای کوچک میله‌ای و کانی فرعی مشاهده می‌شود. منشورهای کرونندم به صورت خرد شده و غالباً احاطه شده توسط مسکویت طی دگرگونی برگشتی است. درون بلورها ادخال‌های سوزنی و ریز و خود شکل روتیل و اسفن-لوکوکسن وجود دارد که بیانگر ترکیب شیمیائی گارنت و بیوتیت اولیه است (شکل ۲ G).

انواع میگماتیت‌ها در منطقه بروجرد بیشترین گسترش میگماتیت‌ها در منطقه مورد مطالعه در حوالی روستای قپان‌وردی مشاهده شد به عبارت دیگر، این سنگ‌ها در بخش شمالی توده نفوذی و داخلی‌ترین بخش هاله دگرگونی در مرز بالا فصل توده نفوذی بروجرد دیده می‌شود و در کنتاکت پس از آن هورنفلس‌ها درون واحد اسلیت و فیلیت‌های همدان ظاهر می‌گردند. آثار ذوب بخشی باعث پدیدار شدن ساخت‌های میگماتیتی شامل میگماتیت‌های لکه‌ای (patchy structure) شده لایه‌ای یا استروماتیت (stromatite structure) شده است (شکل ۲ H). (غفاری، ۱۳۸۹) نیز در منطقه بروجرد علاوه بر ساخت‌های یاد شده، ساخت‌های



شکل ۲: (A) کردیریت هورنفلس، مجموعه کانی‌های کوارتز، بیوتیت، فیبرولیت‌های سیلیمانیت، (B) کردیریت، فیبرولیت گارنت هورنفلس دار، کردیریت‌های بی‌شکل همراه ادخال‌های فیبرولیت و بیوتیت. (C) گارنت به صورت درشت بلور و نیمه شکل دار با مجموعه کانی‌هایی شامل کردیریت، فیبرولیت، کوارتز و فلدسپار و بیوتیت. (D) ظهرور ارتوبیروکسن در سنگ‌های کوارتزدار، (E) فیبرولیت-آنداولوزیت هورنفلس. بلور آنداولوزیت با ادخال‌های کربن که اطراف و درون سیلیمانیتی شده و سیلیمانیت از واکنش پلی مورفیک آنداولوزیت ایجاد شده است. (F) سیلیمانیت-آنداولوزیت هورنفلس، پورفیروبلاست درشت سیلیمانیت. کردیریت در اطراف سیلیمانیت به صورت ریز بلور وجود دارد. (G) در مرکز پورفیروبلاست‌های دگرسان شده (ناشی از دگرگونی برگشتی) آثاری از کانی کرونند مشاهده می‌شود. گاه این سنگ‌ها متحمل دگرسانی شدید شده‌اند و در مقیاس میکروسکوپی منشورهای کرونند تکه‌تکه‌ای مشاهده می‌شوند. (H) (I) تصاویر صحراخی میگماتیت‌ها، ساخت لکه‌ای. علاوه اختصاری از (سیولا و اشمیت، ۲۰۱۷).

و ۳، ارائه شده است. جهت محاسبه فرمول ساختاری کانی‌ها و ترسیم نمودارها از نرم‌افزارهای Excel و AxMinpet استفاده شد است. همچنین تفکیک مقادیر آهن ۳ ظرفیتی و آهن ۲ ظرفیتی در گارنت‌ها با استفاده از روش (درآپ، ۱۹۸۷) محاسبه شده است. در کانی بیوتیت با توجه به وجود گرافیت در اسلیت و فیلیت‌های اولیه و با در نظر گرفتن این نکته که مقدار آهن سه ظرفیتی متاثر از درجه دگرگونی و دیگر کانی‌های سیلیکات‌های نیست، برای تمام نمونه‌ها، آهن سه ظرفیتی برابر

شیمی کانی‌ها

به منظور تعیین ترکیب شیمیایی کانی‌ها، و مطالعات دما-فشار سنجی، برخی از کانی‌های موجود در هورنفلس‌ها و میگماتیت‌ها توسط دستگاه الکترون میکروپرور (EPMA) مورد تجزیه شیمیایی قرار گرفت است. محاسبات کاتیونی و فرمول‌های ساختاری کانی‌های بیوتیت، فلدسپار آکالان و گارنت، به ترتیب براساس تعداد اکسیژن ۱۱، ۱۲، ۱۳، براساس روش‌های معمول انجام گرفته است. که به‌طور خلاصه در جدول‌های شماره ۱، ۲

و به طور کلی بر این فرض استوار است که مجموعه کانی‌های هر سنگ، در شرایط تعادلی تشکیل شده است (هولند و پاول، ۱۹۹۲). به عقیده محققان این وضعیت ممکن است برای سنگ‌هایی که به سرعت سرد شده و یا در دماهایی پایین‌تر که با سرعت انتشار عناصر کندتر یون‌ها، تشکیل شده‌اند، در یک حالت ایدال معتبر باشد (بخار و فر، ۲۰۰۲). در این مطالعه براساس روش دماسنجدی گارنت - بیوتیت (GASP) و به دما محاسبه شده و بارومتری از روش GB-GB همزمان با ترمومتر GB در نرم‌افزار THERMOCALC محاسبه شده است. همچنین واکنش‌های GASP احتمالی و محدوده دما- فشار براساس روش تعادلات چندگانه در نرم‌افزار THERMOCALC مورد تخمین و ارزیابی قرار گرفته است.

زمین دماسنجد گارنت-بیوتیت: برخی از محققین از توزیع Fe و Mg بین گارنت و بیوتیت برای تعیین کیفی درجات دگرگونی در سنگ‌های دگرگونی استفاده کرده‌اند (فراست، ۱۹۶۲). شرکت پذیری Fe و Mg در گارنت و بیوتیت هم‌زیست به دمای تعادل بستگی دارد. این روش به عنوان یک روش مرسوم در سنگ‌های دگرگونی مطرح است. در این مطالعه، برای محاسبه دما با روش گارنت-بیوتیت از کالیبراسیون‌های ارائه شده توسط (گنگولی و ساکسنا، ۱۹۸۴؛ ایندرس و مارتیگونل، ۱۹۸۵؛ ولیامز و گرامبلی، ۱۹۹۰؛ هوگر و اسپیر، ۱۹۸۲) استفاده شده که به طور خلاصه در (جدول ۴) ارائه شده است.

۱۱/۶ درصد کل آهن فرض می‌شود (هولداوی، ۲۰۰۰). در فلدسپارها مقدار کلی آهن به صورت سه ظرفیتی فرض می‌شود (هولند و پاول، ۱۹۹۲). براساس (دیر و همکاران، ۱۹۶۶) همه میکاهای تجزیه شده با توجه به داشتن مقادیر $Fe^*/Fe^{*+} + Mg$ بالاتر از ۰/۳۳ در رده بیوتیت (در مقابل فلوگوپیت) قرار می‌گیرند (شکل ۳A). با توجه به تغییرات Al در مقابل $Fe^*/Fe^{*+} + Mg$ این Al در بیوتیت Al به طوری بیوتیت‌ها تنوع ترکیبی نشان می‌دهند، به طوری که مقدار بیوتیت بین دو قطب آنیت و فلوگوپیت، متمایل به قطب آنیت قرار دارد. براساس مقدار Al کل و مقدار $Fe^*/Fe^{*+} + Mg$ بیشتر بین دو قطب سیدرووفیلت و آنیت با روندی به سمت قطب سیدرووفیلت قرار گرفته‌اند. براساس تجزیه شیمیائی نقطه‌ای، گارنت‌های منطقه غنی از آلماندن هستند مقدار متوسط آلماندن ۷۲/۴۱ درصد است. میانگین ۲/۸۶ پیروپ ۷/۴۴ درصد و متوسط مقدار گراسولار در ۱۷/۰۷ درصد و آندرادیت در حد صفر است (شکل ۳B). براساس (شکل ۳C) طبقه‌بندی شیمیایی فلدسپارهای پتانسیم موجود در منطقه (بخار و فری، ۲۰۰۲) اکثرا محلول جامدی از ارتوز-آلبیت با دامنه گسترش محدود و برخی نمونه‌ها آلبیت خالص است.

زمین دما- فشار سنجدی
محاسبات دما فشار سنجدی کانی‌ها براساس تبادل کانیونی در ترکیب شیمیایی آنها قرار گرفته است،

جدول ۱: نتایج تجزیه نقطه‌ای کروندهای منطقه (کمتر از حد تشخیص (BL))

Point.No	Na ₂ O	K ₂ O	MgO	CaO	MnO	FeO	Al ₂ O ₃	Cr ₂ O ₃	SiO ₂	TiO ₂	P ₂ O ₅	Total
1	0.01	BL>	BL>	BL>	BL>	0.3	98.29	0.01	0.62	0.05	0.02	99.3
2	0.01	BL>	0.12	0.02	BL>	0.34	98.75	0.01	BL>	0.19	BL>	99.44
3	0.03	BL>	0.02	0.02	0.01	0.07	98.36	0.02	7.97	0.05	BL>	106.6
4	0.02	BL>	0.01	BL>	BL>	0.1	99.39	0.03	1.28	0.03	BL>	100.9
5	0.02	0.01	BL>	0.01	BL>	0.18	98.21	0.01	2.32	0.05	0.01	100.8
6	0.03	0.01	0.03	0.01	BL>	0.23	97.31	0.03	1.03	0.02	0.02	98.72
7	BL>	0.02	0.04	0.01	BL>	0.24	98.25	0.02	0.08	0.14	0.02	98.82

جدول ۲: خلاصه نتایج تجزیه شیمیایی به روش ماکروپرب (EPMA) فنوكریستهای بیوتیت، مسکویت، گارنت و محاسبه فرمول ساختاری آنها براساس ۱۱ و ۱۲ اکسیژن ساختاری اکسیدها بر حسب درصد (کمتر از حد تشخیص $(BL >$

Sample	num25	num25	num5	num6	N7/mu	N8/mu
Min	Grt		Bi	Mu		
SiO₂	37.05	37.1	34.64	35.63	35.38	42.32
TiO₂	0.06	0.04	2.35	2.04	2.08	2.66
Al₂O₃	21.18	21.18	19.14	19.55	16.88	11.54
Cr₂O₃	DL>	DL>	0.04	0.04	DL>	DL>
Fe₂O₃	0.41	DL>	2.08	DL>	2.08	11.05
FeO	31.75	32.32	21.22	21.94	21.91	4.26
MnO	7.74	7.74	0.33	0.33	DL>	0.03
MgO	1.85	1.77	7.12	7.34	9.2	11.96
CaO	0.99	0.01	0.12	0.05	0.09	11.96
Na₂O	0.03	0.01	0.11	0.23	DL>	1.23
K₂O	0.02	0.01	9.64	9.79	9.06	1.7
Totals	101.08	100.18	96.79	96.94	96.68	98.71
	Oxygens 12			Oxygens 11		
Si	0.004	3.009	2.645	2.702	2.703	2.946
Ti	2.01	0.002	0.135	0.116	0.119	0.139
Al	DL>	2.025	1.723	1.748	1.52	0.947
Cr	0.025	DL>	0.002	0.002	DL>	DL>
Fe³⁺	2.137	DL>	0.12	DL>	0.12	0.579
Fe²⁺	0.528	2.192	1.355	1.392	1.4	0.248
Mn	0.222	0.532	0.021	0.021	DL>	0.002
Mg	0.085	0.214	0.81	0.83	1.047	1.241
Ca	0.005	0.001	0.01	0.004	0.007	0.892
Na	0.002	0.002	0.016	0.034	DL>	0.166
K	0.002	0.001	0.939	0.947	0.883	0.151
Sum	8.000	7.978	7.776	7.797	7.8	7.311

جدول ۳: خلاصه نتایج تجزیه شیمیایی به روش ماکروپرور (EPMA) فنوکریست‌های فلدوپار پتاسیم و کردیریت و محاسبه فرمول ساختاری آنها براساس ۸ و ۱۸ اکسیژن ساختاری اکسیدها بر حسب درصد وزنی (کمتر از حد تشخیص $.(BL)$).

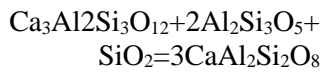
Sample	nu11/plag	nu12/plag	num21/crd	num31/crd	num32/crd
Min	Fly		Crd		
SiO₂	59.6	60.87	49.21	49.12	49.15
TiO₂	0.02	0.03	DL>	DL>	DL>
Al₂O₃	25.56	24.8	33.06	33.08	33.13
Cr₂O₃	DL>	DL>	DL>	DL>	DL>
Fe₂O₃	0.06	0.02	1.13	1.7	1.78
FeO	DL>	DL>	10.31	9.47	9.81
MnO	DL>	0.02	0.62	0.74	0.67
MgO	0.01	DL>	6.23	6.41	6.41
CaO	7.36	6.39	0.04	0.03	0.03
Na₂O	7.17	7.67	0.32	0.37	0.31
K₂O	0.12	0.1	DL>	0.01	DL>
Totals	99.9	99.9	100.92	100.93	101.29
	Oxygens 8			Oxygens 18	
Si	2.657	2.705	5.006	4.991	4.983
Ti	0.001	0.001	DL>	DL>	DL>
Al	1.344	1.299	3.965	3.963	3.96
Cr	DL>	DL>	DL>	DL>	DL>
Fe³⁺	0.002	0.001	0.087	0.13	0.136
Fe²⁺	DL>	DL>	0.877	0.805	0.832
Mn	DL>	0.001	0.053	0.064	0.058
Mg	0.001	DL>	0.944	0.971	0.968
Ca	0.352	0.304	0.004	0.003	0.003
Na	0.62	0.661	0.063	0.073	0.061
K	0.007	0.006	DL>	0.001	DL>
Sum	4.983	4.977	11	11	11

شیوه GASP وجود دارد که حتماً باستی مورد توجه قرار گیرد که عبارتند از: ۱-روش مناسب اندازه‌گیری دما و برآورد خطای آن، ۲-مدلهای اکتیویته برای هر کانی که به صورت فاز ناخالص است که در این بارومتر منظور پلازیوکلاز و گارنت

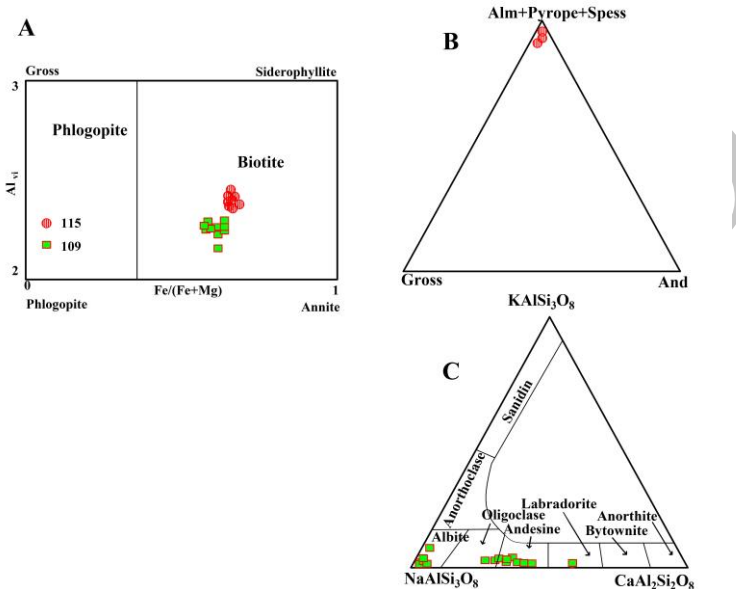
زمین فشار سنج GASP: بارومتر GASP بر پایه واکنش پیشنهادی رابطه ۱ و براساس اعصاری انتهائی گروسولار و آنورتیت به ترتیب در گارت و پلازیوکلاز و با اکتیویتهای مختلف پیشنهاد شده استوار است. سه مسئله مهم در سنجش فشار به

اوج دگرگونی سنگ‌ها بین ۲ تا ۴ کیلو بار محاسبه شد (هولداوی، ۲۰۰۰).

(رابطه ۱)



است. ۳-کالیبراسیون اعضاء انتهایی. جهت اندازه-گیری دقیق فشار، دمای اندازه-گیری شده بایستی تا حد امکان صحیح و به طور مستقل و با روش گارنت-بیوتیت اندازه-گیری شود (هولداوی، ۲۰۰۱؛ هولداوی، ۲۰۰۴). بر مبنای این بررسی‌ها، فشار



شکل ۳: A) طبقه‌بندی شیمیایی میکاهای مورد مطالعه براساس (هولند و پاول، ۱۹۹۲)، B) نمودار تقسیم‌بندی گارنت، C) نمودار تقسیم‌بندی فلدسپارها در زون‌های دگرگونی درجه بالای هاله دگرگونی بروجرد (هولند و پاول، ۱۹۹۲). دایره قرمز مقطع شماره ۱۱۵ و مربع سبز مقطع ۱۰۹.

جدول ۴: خلاصه نتایج دماسنجد منطقه مورد مطالعه براساس کالیبراسیون‌های مختلف.

Calibration	T°C
Hodges and Spear (1982)	635
Ganguly & Saxena (1984)	682
Indares & Martignole (1985)	706
Williams & Grambling (1990)	720

برابر $(\text{Mg} + \text{Fe}_{\text{total}})/(\text{Mg} + \text{Fe}_{\text{total}})$ فشار ۱ تا ۳ کیلوبار را برآورد می‌کنند، و با دماسنجد هورنبلندر-پلاژیوکلاز در این سنگ‌ها، دمای ۶۵۳ تا ۷۳۲ درجه سانتی-گراد به دست آورده است. که احتمال به تعادل رسیدن این دو کانی در این محدوده دمای توسط خصوصیات پتروگرافی هورنفلس‌های میزان که

نتیجه-گیری براساس مطالعات طهماسبی و احمدی خلنجی (۱۳۸۹)، در منطقه بروجرد با فشارسنجد براساس مقدار Al آمفیبیول در کوارتزیت‌ها فشار حین تبلور کانی آمفیبیول از ۰/۴۳ تا ۱/۶۱ (عمق تقریبی ۱ تا حدود ۴/۵ کیلومتر) و براساس پارامتر Al_{total} در

خواهد بود (میاشیرو، ۱۹۹۴). در این نوع دگرگونی، منشا گرما بسیار متنوع است و می‌تواند توده‌های نفوذی گرانیت‌وئیدی، دایک‌های و نفوذی بازیک اولترابازیک، ولکانیسم ریولیتی، نفوذ سیالات داغ، انتقال گرما از طریق هدایت مستقیم، ناهنجاری در جریان گرمایی اولیه، جریان غیر عادی گرما در نواحی ریفت، دیاپیریسم گوشته و فروپاشی عناصر رادیواکتیو باشد (بهاری فر، ۱۳۷۶). از طرفی از نظر (وینکلر، ۱۹۷۴) همزیستی کردیریت و گرونای غنی از آلماندن یک پدیده مهم است، به استثنای موارد نادری که این کانی‌ها در ردیف‌های بالاتر دمای متوسط روی می‌دهد، همزیستی این دو کانی مخصوص میدان معینی از دما و فشار دگرگونی درجه بالا، یعنی زون هیپرستن ناحیه‌ای (رخساره گرانولیت) است. بنابراین براساس شواهد موجود در میگماتیت‌ها و هاله دگرگونی هورنفلسی توده گرانیت‌وئیدی بروجرد، وجود شواهد کانی‌شناسی مانند همزیستی گرونای غنی از آلماندن و کردیریت (شکل ۲ D) نشان دهنده ایجاد شرایط ترمودینامیکی در محدوده رخساره گرانولیت در هورنفلس‌های منطقه مورد مطالعه است. شرایط رخساره گرانولیت در متابلیت‌های دگرگونی مجاورتی زون سنندج-سیرجان، قبلاً در منطقه همدان نیز گزارش شده است. اگرچه این تئوری نیازمند جمع‌آوری اطلاعات دقیق‌تر ژئوشیمیایی و ژئکرونولوژی است ولی با توجه به شواهد موجود از جمله فراگیر نبودن رخساره گرانولیت در تمام بخش‌های هاله دگرگونی، وجود توده‌ها و آنکلاوهای مافیک و اولترامافیک در داخل توده بروجرد و دگرگونی برگشتی در سایر بخش‌های هاله دگرگونی بیانگر این موضوع است که احتمالاً در اثر تزریق توده‌های اولترامافیک قدیمی، شرایط دگرگونی رخساره گرانولیت فراهم شده و با تزریق توده‌های گرانیت‌وئیدی شواهد رخساره گرانولیت

حاوی کردیریت-آندازیت و کردیریت-سیلیمانیت هستند تایید می‌شود. این محققین براساس دماسنج گارنت-بیوتیت دمای ۴۷۲ درجه سانتی-گراد را برای زوج گارنت-بیوتیت در هورنفلس‌ها پیشنهاد می‌کنند. از طرفی (مسعودی، ۱۹۹۷) براساس تعادل‌های چندگانه، اوج دمای دگرگونی در هاله بروجرد را ۶۴۲ درجه تخمین زده است. براساس بررسی‌های انجام شده در این مطالعه فشار متوسط ۴-۲ کیلوبار و دمای متوسط ۶۳۵-۷۲۰ درجه سانتی‌گراد به دست آمده، که دگرگونی فشار پایین-حرارت بالا برای منطقه مورد مطالعه پیش-بینی می‌شود، این نوع دگرگونی یکی از انواع مهم-ترین روندهای دگرگونی‌های مورد توجه زمین‌شناسان در سرتاسر جهان است که در بخش‌های شمال غربی زون سنندج-سیرجان نیز قابل مشاهده است (بهاری فر، ۱۳۷۶). در این نوع دگرگونی، شرایط دما در محدوده‌های پایداری آندازیت و سیلیمانیت بوده و گاه تا ۸۰۰ درجه سانتی‌گراد نیز بالغ شده است (وارنر و استوارت، ۱۹۸۸). فشار نیز غالباً از فشار نقطه سه گانه پلی مورف‌های سیلیکات آلومین بالاتر نمی‌رود. در این مطالعات مشخص شده که هرچند در بعضی نواحی که دگرگونی فشار پایین در حرارت‌های بالا روی می‌دهد (در محدوده سیلیمانیت)، فشار نیز می‌تواند در برخی رخنمون‌ها بالاتر رفته و تا ۶ کیلوبار نیز تعیین گردد (یاردلی و همکاران، ۱۹۸۷). فشار متعارف پیشنهاد شده برای این نوع دگرگونی، ۵ کیلوبار و کمتر است. گرادیان زمین گرمایی در این نوع دگرگونی بسیار متغیر بوده و تا ۱۰۰ درجه سانتی‌گراد بر کیلومتر نیز می‌رسد. با توجه به اینکه به هر حال، تحولات در این نوع دگرگونی در محدوده آندازیت است، به احتمال زیاد تحولات آن در اعمق کمتر از ۱۴ کیلومتر صورت گرفته و متوسط گرادیان زمین گرمایی، بیش از ۳۵ درجه سانتی‌گراد بر کیلومتر

مربوط به فاز همزمان یا قدیمیتر دگرگونی، از بین رفته باشد.

منابع

- طهماسبی، ز. و خلجی، ا.، ۱۳۸۹. استفاده از شیمی کانی‌ها در تعیین شرایط تشکیل کمپلکس گرانیت‌وئیدی بروجرد و هاله دگرگونی آن"، مجله پترولوزی، سال اول، شماره ۲، ص ۷۷-۹۴.
- سهیلی، م.، جعفریان، م.ب. و عبدالهی، م.ر.، ۱۳۷۱. نقشه زمین‌شناسی ورقه الیگودرز، مقیاس ۱:۱۰۰۰۰۰، سازمان زمین‌شناسی و اکتشافات معدنی کشور.
- غفاری، م.، ۱۳۸۹. پترولوزی سنگ‌های دگرگونی اطراف توده گرانیتی بروجرد (باخته هندودر). پژوهشکده علوم زمین، سازمان زمین‌شناسی و اکتشاف معدنی.
- احمدی خلجی، ا.، ۱۳۸۵. پترولوزی کمپلکس گرانیت‌وئیدی بروجرد، رساله دکتری، پردیس علوم، دانشگاه تهران.
- احمدی خلجی، ا.، ۱۳۷۸. بررسی پترولوزی و پتروفابریک توده‌های نفوذی و دگرگونی مجاور تی منطقه بروجرد، پایان‌نامه کارشناسی ارشد، دانشکده علوم، دانشگاه تهران.
- بهاری فر، ع.، ۱۳۷۶. نگرشی نuber پترولوزی سنگ‌های دگرگونی ناحیه‌ای همدان" پایان‌نامه کارشناسی ارشد زمین‌شناسی، دانشگاه تربیت معلم تهران.
- بهاری فر، ع.، ۱۳۸۲. پترولوزی سنگ‌های دگرگونی همدان، رساله دکتری، دانشکده علوم، دانشگاه تربیت معلم.

- Berberian, M. and King, G.C.P., 1981. Towards a paleogeography and tectonic evolution of Iran, Canadian Journal of Earth Sciences, v. 18, p. 210-257.
- Bucher, K. and Frey, M., 2002. Petrogenesis of Metamorphic Rocks, Berlin. Heidelberg, New York, Springer-Verlag, 7th edition, 341 p.
- Bucher, K. and Grapes, R., 2011. Petgenesis of metamorphic rocks, Springer Heidelberg Dordrecht London Newyork, 411 p.
- Deer, W.A., Howie, R.A. and zussman, J., 1966. An Introduction to the Rock Forming Minerals, Longman and Scientific Technical, New York, 528 p.
- Droop, G.T.R., 1987. A general equation for estimating Fe³⁺ vacancy-ordering and Fe-oxidation, Geological Society of America, v. 31(7), p. 170.

- Frost, J., 1962. Metamorphic grade and iron-magnesium distribution between coexisting garnet-biotite and garnet-hornblende", Geological Magazine, v. 99, p. 427-438.
- Ganguly, J. and Saxena, S.K., 1984. Mixing properties of aluminosilicate garnets: constraints from natural and experimental data, and applications to geothermobarometry, American Mineralogy, v. 69, p. 88-97.
- Hodges, K.V. and Spear, F.S., 1982. Geothermometry, geobarometry and the Al₂SiO₅ triple point at Mt", Moosilauke, New Hampshire, American Mineralogy, v. 67, p. 1118-1134.
- Holdaway, M.J., 2000. Application of new experimental and garnet Margules data to the garnet-biotite geothermometer, American Mineralogist, v. 85, p. 881-892.

- Holdaway, M.J., 2001. Recalibration of GASP geobarometer in light of recent garnet and plagioclase activity models and versions of the garnet- biotite geothermometer", American Mineralogy, v. 86, p. 1117- 1129.
- Holdaway, M.J., 2004. Optimization of some Key geothermobarometers for pelitic metamorphic rocks", Mineralogy Magazine, v. 68, p. 1-14.
- Holland, T.J.B. and Powell, R., 1992. Plagioclase feldspars Plagioclase feldspars activity-composition relations based upon Darken's Quadratic Formalism and Landau theory", American Mineralogist, v. 77, p. 53-61.
- Indares, A. and Martignole, J., 1985. Biotite garnet geothermometry in the granulite facies: The influence of Ti and Al in biotite", American Mineralogy, v. 70, p. 272-278.
- Masoudi, F., 1997. Contact metamorphism and pegmatites development in the region SW of Arak, Iran, PhD Thesis University of Leeds, UK.
- Masoudi, F., Yardley, B.W.D. and Cliff, R.A., 2002. Rb-Sr geochronology of pegmatites, volcanic rocks and a hornfels in the region south-west of Arak-Iran, Journal of Science, Islamic Republic of Iran, v. 13(3), p. 249-254.
- Miyashiro, A., 1994. Metamorphic Petrology, UCL Press, London, 404 p.
- Mohajel, M., Fergusson, C.L. and Sahandi, M.R., 2003. Cretaceous-Tertiary convergence and continental collision, Sanandaj-Sirjan Zone, western Iran, Jurnal of Asian Earth Sciences, v. 21, p. 397-412.
- Siivola, J. and Schmid, R., 2017. List of mineral abbreviation Recommendations by the IUGS Subcommission on the Systematics of Metamorphic Rocks: Web version 01.02.07.
- Stöcklin, J., 1968. Structural history and tectonics of Iran, An Association of Amerc Bulletin Petroleum Geologists, v. 52, p. 1229-1258.
- Warren, R.G. and Stewart, A.J., 1988. Isobaric cooling of proterozoic high-temperature metamorphites in northern Arunta Block, central Australia implication for tectonic evolution percambrian" Research, v. 40/41, p. 175-198.
- Williams, M.L. and Grambling, J.A., 1990. Manganese, ferric iron, and the equilibrium between garnet and biotite, American Mineralogy, v. 75, p. 886-908.
- Winkler, H.G. F., 1974. Petrogenesis of metamorphic rocks, 3rd edition Springer, Berlin, 320 p.
- Yardley, B.W.D., Barber, J.P. and Gray, J.P., 1987. The metamorphism of the Dalredian rocks of eastern Ireland and its relation to tectonic setting philosophical tannsauction of the Royal society, London, v. 321, p. 243-270.